

МИНИСТЕРСТВО ОБРАЗОВАНИЯ И НАУКИ РОССИЙСКОЙ ФЕДЕРАЦИИ
ФЕДЕРАЛЬНОЕ ГОСУДАРСТВЕННОЕ АВТОНОМНОЕ ОБРАЗОВАТЕЛЬНОЕ
УЧРЕЖДЕНИЕ ВЫСШЕГО ОБРАЗОВАНИЯ «НОВОСИБИРСКИЙ НАЦИОНАЛЬНЫЙ
ИССЛЕДОВАТЕЛЬСКИЙ ГОСУДАРСТВЕННЫЙ УНИВЕРСИТЕТ».

Физический факультет

Кафедра общей физики

Нагулевич Матвей Валерьевич

КУРСОВАЯ РАБОТА

**Влияние фазовых ошибок магнитного поля на спектральную
характеристику ондулятора**

Практикум по электромагнетизму, 2 курс, группа №19301

Научный руководитель:

к. ф.-м. н. Ракшун Яков Валерьевич

Оценка научного руководителя

«_____» _____ 20__ г.

Преподаватель практикума:

Судников Анатолий Вячеславлович

Оценка преподавателя практикума

«_____» _____ 20__ г.

Куратор практикума:

к.т.н. В.Т. Астрелин

Итоговая оценка

«_____» _____ 20__ г.

Новосибирск 2020

Аннотация

Целью работы являлось изучение влияния фазовых ошибок магнитного поля на спектральную характеристику ондулятора. Для этой цели были выведены уравнения движения для ультрарелятивистских электронов в синусоидальном магнитном поле ондулятора и его излучение, сравнивается излучение для различных фазовых ошибок и рассматриваются сами фазовые ошибки в измеренном магнитном поле станции 1-1 "Микрофокус".

Ключевые слова: ондулятор, синхротронное излучение, фазовые ошибки.

Содержание

Введение	4
Движение электрона в ондуляторе.....	4
Излучение электрона в ондуляторе.....	5
Фазовые ошибки.....	10
Численное моделирование.....	10
Вывод.....	13
Литература.....	14

1. Введение

Магнитную систему знакопеременным периодическим полем $B_y = B_0 \cos(k_w z)$ называют ондулятором. Так же применяется термин вигглер. Разница между двумя этими терминами заключается в том, что вигглер используется для создания непрерывного спектра на больших энергиях фотонов, а ондулятор для резонансных гармоник, спектральный поток на которых пропорционален количеству периодов. Синхротронное излучение используется в широком ряде методик, использующих рентгеновское излучение, таких как: монокристаллическая и порошковая дифракция, фотоэлектронная спектроскопия, XAS-спектроскопия и др..

2. Движение электрона в ондуляторе

Рассмотрим движение электрона в синусоидальном магнитном поле, ось z направлена вдоль движения электрона, сам электрон имеет ультррелятивистскую скорость. В ондуляторе магнитное поле перпендикулярно оси z , выберем такую систему координат, чтобы магнитное поле имело только y -компоненту.

Так как сила магнитного поля на движущийся заряд направлена перпендикулярно скорости и не изменяет скорость по модулю

Мы можем записать силу как

$$\frac{dp}{dt} = \gamma m_e a_{\perp}$$

Где γ – гамма фактор, m_e – масса покоя электрона, a_{\perp} - перпендикулярное ускорение.

Сама сила определяется как

$$F = -\frac{e}{c} [v \times B]$$

Как отмечалось выше у поля B есть только y компонента

$$B_y = B_0 \cos(k_w z)$$

Откуда получаем

$$\frac{d^2 x}{dt^2} = -\frac{e B_0}{\gamma m_e c} \cdot \frac{dz}{dt} \cdot \cos(k_w z)$$

$$\frac{d^2 z}{dt^2} = \frac{e B_0}{\gamma m_e c} \cdot \frac{dx}{dt} \cdot \cos(k_w z)$$

Интегрируя первое, получим уравнение

$$\frac{dx}{dt} = -\frac{eB_0}{\gamma m_e c k_w} \sin(k_w z)$$

Подставим его во второе

$$\frac{d^2 z}{dt^2} = -\left(\frac{eB_0}{\gamma m_e c}\right)^2 \cdot \frac{1}{k_w} \cdot \cos(k_w z) \sin(k_w z)$$

Введем коэффициент ондуляторности $K = \frac{eB_0 \lambda}{m_e c^2 2\pi}$, где λ – длина двух магнитов, тогда $k_w = \frac{2\pi}{\lambda}$

Будем считать, что $\frac{dz}{dt} \gg \frac{dx}{dt}$, тогда $z \approx |v|t = \beta c t$ и

$$\frac{dx}{dt} = -\frac{Kc}{\gamma} \sin(k_w z)$$

$$\frac{dz}{dt} = c - \frac{K^2 c}{2\gamma^2 \beta} \sin^2(k_w z)$$

При

$$B_0 = 0$$

$$\frac{dz}{dt} = \beta c$$

отсюда находим константу $C = \beta c$. Проинтегрируем еще раз

$$x = \frac{K}{\gamma k_w \beta} \cos(k_w \bar{\beta} c t)$$

$$z = \beta c - \frac{K^2 c}{2\gamma^2 \beta} \left(\frac{t}{2} - \frac{\sin(2k_w z)}{4k_w \beta c} \right) = \bar{\beta} c + \frac{K^2}{8\gamma^2 \beta^2 c k_w} \sin(2k_w \bar{\beta} c t) \quad (1)$$

$$\text{Где } \bar{\beta} = \beta c \left(1 - \frac{K^2}{4\gamma^2 \beta^2 c^2} \right)$$

3. Излучение ондулятора в параксиальном приближении

Плотность и поток для точечного заряда:

$$\rho(r, t) = -e\delta(\mathbf{r} - \mathbf{r}'(t))$$

$$\mathbf{j}(r, t) = -e\mathbf{v}(t)\delta(\mathbf{r} - \mathbf{r}'(t))$$

Запишем уравнения Максвелла в вакууме

$$\nabla \times \mathbf{E} = -\frac{1}{c} \frac{\partial \mathbf{B}}{\partial t}$$

$$\nabla \times \mathbf{B} = \frac{1}{c} \frac{\partial \mathbf{E}}{\partial t} + \frac{4\pi}{c} \mathbf{j}$$

$$\nabla \mathbf{E} = 4\pi \rho$$

Также воспользуемся равенством для произвольного векторного поля \mathbf{E}

$$\nabla \times (\nabla \times \mathbf{E}) = \nabla(\nabla \cdot \mathbf{E}) - \Delta \mathbf{E}$$

Из уравнений Максвелла сразу следует, что

$$c^2 \nabla \times (\nabla \times \mathbf{E}) = c^2 \left(\nabla \times \left(-\frac{1}{c} \frac{\partial \mathbf{B}}{\partial t} \right) \right) = -c^2 \frac{\partial}{\partial t} \left(\frac{1}{c^2} \left(\frac{\partial \mathbf{E}}{\partial t} + 4\pi \mathbf{j} \right) \right) = -\frac{\partial^2 \mathbf{E}}{\partial t^2} - 4\pi \frac{\partial \mathbf{j}}{\partial t}$$

С другой стороны

$$\nabla(\nabla \mathbf{E}) - \Delta \mathbf{E} = 4\pi \nabla \rho - \Delta \mathbf{E}$$

Объединяя оба равенства, получим

$$\begin{aligned} -\frac{\partial^2 \mathbf{E}}{\partial t^2} - 4\pi \frac{\partial \mathbf{j}}{\partial t} &= 4\pi c^2 \nabla \rho - c^2 \Delta \mathbf{E} \\ c^2 \Delta \mathbf{E} - \frac{\partial^2 \mathbf{E}}{\partial t^2} &= 4\pi c^2 \nabla \rho + 4\pi \frac{\partial \mathbf{j}}{\partial t} \quad (2) \end{aligned}$$

Дальше мы будем использовать обратное преобразование Фурье и свойства преобразования функции с преобразованием ее производной

$$F_-[E](\omega) = \int_{-\infty}^{+\infty} E(t) e^{i\omega t} dt$$

$$F_- \left[\frac{\partial^\alpha E}{\partial x^\alpha} \right] (p) = (-ip)^{|\alpha|} F_-[E](p)$$

При этом введем обозначение

$$\bar{f}(\omega) = F_-[f(t)](\omega)$$

Беря обратное преобразование Фурье от равенства (2) приходим к следующему уравнению

$$c^2 \Delta \bar{\mathbf{E}} + \omega^2 \bar{\mathbf{E}} = 4\pi c^2 \nabla \bar{\rho} - 4\pi i \omega \bar{\mathbf{j}} \quad (3)$$

Введем замену, полезную при малом изменении $\tilde{\mathbf{E}}$ от z сравнительно с $\frac{2\pi c}{\omega}$, так, что

$$\bar{\mathbf{E}} = \tilde{\mathbf{E}} e^{\frac{i\omega z}{c}}$$

$\bar{\mathbf{E}}$ здесь представляется произведением слабо меняющейся от z функции $\tilde{\mathbf{E}}$ и сильно меняющейся $e^{\frac{i\omega z}{c}}$. После замены обратим внимание на слагаемое $\Delta \bar{\mathbf{E}}$

$$\Delta \left(\tilde{\mathbf{E}} e^{\frac{i\omega z}{c}} \right) = (\Delta \tilde{\mathbf{E}}) e^{\frac{i\omega z}{c}} + \tilde{\mathbf{E}} \left(\Delta e^{\frac{i\omega z}{c}} \right) + 2 \frac{\partial \tilde{\mathbf{E}}}{\partial z} \cdot \frac{\partial}{\partial z} \left(e^{\frac{i\omega z}{c}} \right) = (\Delta \tilde{\mathbf{E}}) e^{\frac{i\omega z}{c}} - \frac{\omega^2}{c^2} \tilde{\mathbf{E}} e^{\frac{i\omega z}{c}} + \frac{2\omega i}{c} \cdot \frac{\partial \tilde{\mathbf{E}}}{\partial z} \cdot e^{\frac{i\omega z}{c}}$$

Тогда уравнение (3) переписывается в виде

$$c^2 e^{\frac{i\omega z}{c}} \left(\Delta + \frac{2\omega i}{c} \cdot \frac{\partial}{\partial z} \right) \tilde{\mathbf{E}} = 4\pi c^2 \nabla \bar{\rho} - 4\pi i \omega \bar{\mathbf{j}} \quad (4)$$

Найдем преобразование Фурье для потока и плотности

$$\rho(\mathbf{r}, t) = -e\delta(\mathbf{r} - \mathbf{r}'(t))$$

Пользуясь свойствами δ -функции, перепишем плотность

$$\varphi(x') = 0, \varphi'(x') \neq 0, \delta(\varphi(x)) = \sum_i \frac{\delta(x - x'_i)}{|\varphi'(x'_i)|}$$

Так как $v_z(z)$ не зануляется, то z однозначно определяет время нахождения частицы в точке, тогда сумма состоит из одного слагаемого

$$\delta(\mathbf{r} - \mathbf{r}'(t)) = \frac{\delta(t - t'(z))}{v_z(z)}$$

$$\delta(\mathbf{r} - \mathbf{r}'(t)) = \delta(z - z'(t)) \cdot \delta(x - x'(t)) \cdot \delta(y - y'(t)) = \delta(z - z'(t)) \cdot \delta(\mathbf{r}_\perp - \mathbf{r}'_\perp(t))$$

$$\rho(\mathbf{r}, t) = -e\delta(\mathbf{r} - \mathbf{r}'(t)) = -e\delta(z - z'(t)) \cdot \delta(\mathbf{r}_\perp - \mathbf{r}'_\perp(t)) = -e\delta(\mathbf{r}_\perp - \mathbf{r}'_\perp(t)) \cdot \frac{\delta(t - t'(z))}{v_z(z)}$$

$$\rho(z, \mathbf{r}_\perp, t) = -e\delta(\mathbf{r}_\perp - \mathbf{r}'_\perp(t)) \cdot \frac{\delta(t - t'(z))}{v_z(z)}$$

Точно так же с потоком

$$j(z, \mathbf{r}_\perp, t) = -ev(z)\delta(\mathbf{r}_\perp - \mathbf{r}'_\perp(t)) \cdot \frac{\delta(t - t'(z))}{v_z(z)}$$

В слабом магнитном поле модуль скорости меняется слабо и можно считать $|\mathbf{v}| = v - const$

Тогда введем понятие пройденного пути как

$$s = vt(z)$$

Из свойства δ -функции

$$\int_a^b \delta(t - t')\varphi(t)dt = \varphi(t'), \text{ при } a < t' < b.$$

Тогда Преобразование Фурье от плотности будет

$$\begin{aligned} F_-[\rho](\omega) &= \int_{-\infty}^{+\infty} \left(-e\delta(\mathbf{r}_\perp - \mathbf{r}'_\perp(z)) \cdot \frac{\delta(t - t'(z))}{v_z(z)} \right) e^{i\omega t} dt = \\ &= -\frac{e\delta(\mathbf{r}_\perp - \mathbf{r}'_\perp(z))}{v_z(z)} \int_{-\infty}^{+\infty} \delta(t - t'(z)) e^{i\omega t} dt = -\frac{e\delta(\mathbf{r}_\perp - \mathbf{r}'_\perp(z))}{v_z(z)} e^{i\omega t'} \\ \bar{\rho}(\mathbf{r}_\perp, z, \omega) &= -\frac{e\delta(\mathbf{r}_\perp - \mathbf{r}'_\perp(z))}{v_z(z)} e^{i\omega \frac{s}{v}(z)} \end{aligned}$$

Аналогично с потоком

$$\bar{j}(\mathbf{r}_\perp, z, \omega) = -\frac{e\delta(\mathbf{r}_\perp - \mathbf{r}'_\perp(z))}{v_z(z)} v(z) e^{i\omega \frac{s}{v}(z)}$$

Так как $\tilde{\mathbf{E}}$ слабо меняется от z , то вторая производная по z много меньше первой и, подставляя преобразования Фурье и выделяя компоненты x и y , получим из (3)

$$e^{\frac{i\omega z}{c}} \left(\Delta_{\perp} + \frac{2\omega i}{c} \cdot \frac{\partial}{\partial z} \right) \tilde{\mathbf{E}}_{\perp} = -\frac{4\pi e}{v_z(z)} \left(\nabla \delta(\mathbf{r}_{\perp} - \mathbf{r}'_{\perp}(z)) - \frac{i\omega}{c^2} \delta(\mathbf{r}_{\perp} - \mathbf{r}'_{\perp}(z)) \mathbf{v}_{\perp}(z) \right) e^{i\omega \frac{s(z)}{v}} \\ \left(\Delta_{\perp} + \frac{2\omega i}{c} \cdot \frac{\partial}{\partial z} \right) \tilde{\mathbf{E}}_{\perp} = \frac{4\pi e}{v_z(z)} \left(\frac{i\omega}{c^2} \delta(\mathbf{r}_{\perp} - \mathbf{r}'_{\perp}(z)) \mathbf{v}_{\perp}(z) - \nabla_{\perp} \delta(\mathbf{r}_{\perp} - \mathbf{r}'_{\perp}(z)) \right) e^{i\omega \left(\frac{s(z)}{v} - \frac{z}{c} \right)}$$

Здесь пренебрегается элемент с $\frac{v'_z(z)}{v_z^2(z)}$, далее мы будем пренебрегать разностью между $v_z(z)$ и c и перепишем предыдущее уравнение в виде

$$\left(\Delta_{\perp} + \frac{2\omega i}{c} \cdot \frac{\partial}{\partial z} \right) \tilde{\mathbf{E}}_{\perp} = \frac{4\pi e}{c} \left(\frac{i\omega}{c^2} \delta(\mathbf{r}_{\perp} - \mathbf{r}'_{\perp}(z)) \mathbf{v}_{\perp}(z) - \nabla_{\perp} \delta(\mathbf{r}_{\perp} - \mathbf{r}'_{\perp}(z)) \right) e^{i\omega \left(\frac{s(z)}{v} - \frac{z}{c} \right)}$$

Воспользуемся функцией Грина, удовлетворяющей уравнение

$$\left(\Delta_{\perp} + \frac{2\omega i}{c} \cdot \frac{\partial}{\partial z} \right) G(z_o - z, \mathbf{r}_{\perp o} - \mathbf{r}_{\perp}) = \delta(\mathbf{r}_{\perp o} - \mathbf{r}_{\perp}) \delta(z_o - z) \\ G(z_o - z, \mathbf{r}_{\perp o} - \mathbf{r}_{\perp}) = -\frac{1}{4\pi(z_o - z')} \cdot e^{i\omega \frac{|\mathbf{r}_{\perp o} - \mathbf{r}'_{\perp}|^2}{2c(z_o - z')}}$$

Индексом o обозначаются координаты наблюдателя

Решение может быть представлено в виде

$$\tilde{\mathbf{E}}_{\perp}(z_o, \mathbf{r}_{\perp o}, \omega) = \\ = -\frac{e}{c} \int_{-\infty}^{+\infty} dz' \frac{1}{z_o - z'} \int d\mathbf{r}'_{\perp} \left(\frac{i\omega}{c^2} \delta(\mathbf{r}'_{\perp} - \mathbf{r}'_{\perp}(z')) \mathbf{v}_{\perp}(z') - \nabla'_{\perp} \delta(\mathbf{r}'_{\perp} - \mathbf{r}'_{\perp}(z')) \right) e^{i\omega \left(\frac{|\mathbf{r}_{\perp o} - \mathbf{r}'_{\perp}|^2}{2c(z_o - z')} + \left(\frac{s(z')}{v} - \frac{z'}{c} \right) \right)}$$

В итоге

$$\tilde{\mathbf{E}}_{\perp}(z_o, \mathbf{r}_{\perp o}, \omega) = -\frac{i\omega e}{c^2} \int_{-\infty}^{+\infty} dz' \frac{e^{i\phi_T}}{z_o - z'} \left(\left(\frac{v_x(z')}{c} - \frac{x_o - x'(z')}{z_o - z'} \right) \hat{x} + \left(\frac{v_y(z')}{c} - \frac{y_o - y'(z')}{z_o - z'} \right) \hat{y} \right) \quad (5)$$

Где $\phi_T = \omega \left(\frac{s(z')}{v} - \frac{z'}{c} \right) + \omega \left(\frac{(x_o - x'(z'))^2 + (y_o - y'(z'))^2}{2c(z_o - z')} \right)$, \hat{x} и \hat{y} – единичные вектора

Т.к. координата наблюдателя z_o много больше z любой точки ондулятора, пренебрежем в разложении $\frac{1}{z_o - z'}$ всеми элементами, кроме $\frac{1}{z_o}$, также введем обозначения $\theta_x = \frac{x_o}{z_o}$, $\theta_y = \frac{y_o}{z_o}$

$$\tilde{\mathbf{E}}_{\perp}(z_o, \mathbf{r}_{\perp o}, \omega) = -\frac{i\omega e}{z_o c^2} \int_{-\infty}^{+\infty} dz' e^{i\phi_T} \left(\left(\frac{v_x(z')}{c} - \theta_x \right) \hat{x} + \left(\frac{v_y(z')}{c} - \theta_y \right) \hat{y} \right)$$

$$\phi_T = \omega \left(\frac{s(z')}{v} - \frac{z'}{c} \right) + \frac{\omega}{2c} \left(z_o(\theta_x^2 + \theta_y^2) - 2x'\theta_x - 2y'\theta_y + z'(\theta_x^2 + \theta_y^2) \right)$$

Здесь учитывалось приближение

$$\begin{aligned} \frac{(x_0 - x'(z'))^2 + (y_0 - y'(z'))^2}{(z_0 - z')^2} &\approx (x_0^2 + y_0^2 - 2x'x_0 - 2y'y_0 + x'^2 + y'^2) \cdot \left(\frac{1}{z_0} + \frac{z'}{z_0^2} \right) \approx \\ &\approx z_0(\theta_x^2 + \theta_y^2) - 2x'\theta_x - 2y'\theta_y + z'(\theta_x^2 + \theta_y^2) \end{aligned}$$

Теперь объединим выводы (1) и (5)

$$\begin{aligned} \tilde{E}_\perp(z_0, \mathbf{r}_\perp, \omega) &= \frac{i\omega e}{z_0 c^2} \int_{-\frac{\lambda N}{2}}^{+\frac{\lambda N}{2}} dz' e^{i\phi_T} \left(\left(\frac{K}{\gamma} \sin(k_w z) \right) \hat{\mathbf{x}} + \boldsymbol{\theta} \right) \quad (6) \\ \phi_T &= \omega \left(\frac{s(z')}{v} - \frac{z'}{c} \right) + \frac{\omega}{2c} \left(z_0(\theta_x^2 + \theta_y^2) - 2x'\theta_x - 2y'\theta_y + z'(\theta_x^2 + \theta_y^2) \right) = \\ &= \omega \left(\frac{s(z')}{v} \right) + \frac{\omega z_0 \theta^2}{2c} - \frac{\theta_x \omega K}{\gamma k_w \beta c} \cos(k_w z') + \left(\frac{\omega \theta^2}{2c} \right) z' - \frac{\omega}{c} \left(\bar{\beta} c + \frac{K^2}{8\gamma^2 \beta^2 c k_w} \sin(2k_w z') \right) = \\ &= \left(\frac{\omega}{2c\bar{\gamma}^2} + \frac{\omega \theta^2}{2c} \right) z' - \frac{K\theta_x}{\gamma} \frac{\omega}{k_w c} \sin(2k_w z') - \frac{K\theta_x}{\gamma} \frac{\omega}{k_w c} \cos(k_w z') \end{aligned}$$

Тут использовалось приближение $\beta \approx 1$, $\bar{\gamma} = \frac{\gamma}{\sqrt{1 + \frac{K^2}{2}}}$, перепишем (6) с

использованием формулы Якоби-Янгера

$$\begin{aligned} e^{iz\cos(\theta)} &= \sum_{n=-\infty}^{+\infty} i^n J_n(z) e^{in\theta} \\ e^{iz\sin(\theta)} &= \sum_{n=-\infty}^{+\infty} J_n(z) e^{in\theta} \end{aligned}$$

Где $J_n(z)$ – функция Бесселя первого рода n -го порядка

И замены $\omega = \omega_r + \Delta\omega$, $\omega_r = 2c\bar{\gamma}^2 k_w$, $C = \frac{k_w \Delta\omega}{\omega_r}$

$$\begin{aligned} \tilde{E}_\perp(z_0, \mathbf{r}_\perp, \omega) &= e^{i\left(\frac{\omega z_0 \theta^2}{2c}\right)} \frac{i\omega e}{z_0 c^2} \sum_{m,n=-\infty}^{+\infty} J_n(u) J_m(v) e^{i\left(\frac{\pi n}{2}\right)} \int_{-\frac{\lambda N}{2}}^{+\frac{\lambda N}{2}} dz' e^{i\left(c + \frac{\omega \theta^2}{2c}\right)z'} \cdot \\ &\cdot \left(\frac{K}{2i\gamma} (e^{2ik_w z'} - 1) \hat{\mathbf{x}} + \boldsymbol{\theta} e^{ik_w z'} \right) e^{i(n+2m)k_w z'} \end{aligned}$$

Где $u = -\frac{K^2 \omega}{8\gamma^2 k_w c}$, $v = -\frac{K\theta_x \omega}{\gamma k_w c}$

Если $C + \frac{\omega \theta^2}{2c} \ll k_w$, то первая фаза меняется медленно относительно периода ондулятора λ . Такое неравенство справедливо при большом N .

Теперь рассмотрим условия резонанса $C \ll k_w$ и $\frac{\omega \theta^2}{2c} \ll k_w$

$$\tilde{\mathbf{E}}_{\perp}(z_0, \mathbf{r}_{\perp 0}, \omega) = \frac{\omega e K}{2c^2 z_0 \gamma} e^{i \frac{\omega z_0 \theta^2}{2c}} (J_1(v) - J_0(v)) \hat{\mathbf{x}} \cdot \int_{-\frac{\lambda N}{2}}^{+\frac{\lambda N}{2}} e^{i \left(c + \frac{\omega \theta^2}{2c} \right) z'} dz'$$

$$\tilde{\mathbf{E}}_{\perp}(z_0, \mathbf{r}_{\perp 0}, \omega) = \frac{\omega e K L}{2c^2 z_0 \gamma} e^{i \frac{\omega z_0 \theta^2}{2c}} (J_1(v) - J_0(v)) \text{sinc} \left(\frac{L}{2} \left(c + \frac{\omega \theta^2}{2c} \right) \right) \hat{\mathbf{x}}$$

4. Фазовые ошибки

Главный эффект ошибок поля на излучение ондулятора оказывают ошибки в фазовой части формулы излучения, они могут значительно уменьшить спектр излучения. Фазовые ошибки можно разделить на систематические, изменяющиеся постепенно по длине устройства из-за щелей между магнитами или из-за изменения какого-то параметра и случайные, возникающие из-за ошибок поля в небольшом пространстве, зависящих от конкретного магнита.

Систематическую ошибку, связанную с щелями между магнитами, можно вычислить, однако случайная ошибка играет значительно большую роль.

5. Численное моделирование

В этой работе использовалась программа SPECTRA версии 10.2 для численного моделирования. Расчет делается для станции 1-1 ЦКП “СКИФ”.

Ниже приведен график распределения плотности потока фотонов от энергии. Как видим при увеличении энергии количество фотонов уменьшается. Причем наибольшее значение имеют нечетные гармоники. Значения плотности потока приводятся в ph/s/mm²/0.1%BW. Спектральная ширина определяется через 0.1%BW, для примера спектральная ширина на энергии 1000 эВ составляет 0.1эВ. Энергия дана в электронвольтах. Расчеты проводились для угла $\theta = 0$, энергии электронов 3эВ, на расстоянии от источника 25 м, для энергии фотонов от 1 до 20000эВ, с амплитудой магнитного поля 1.1 Т, с периодом 1.55 см, с длиной ондулятора 60 см.

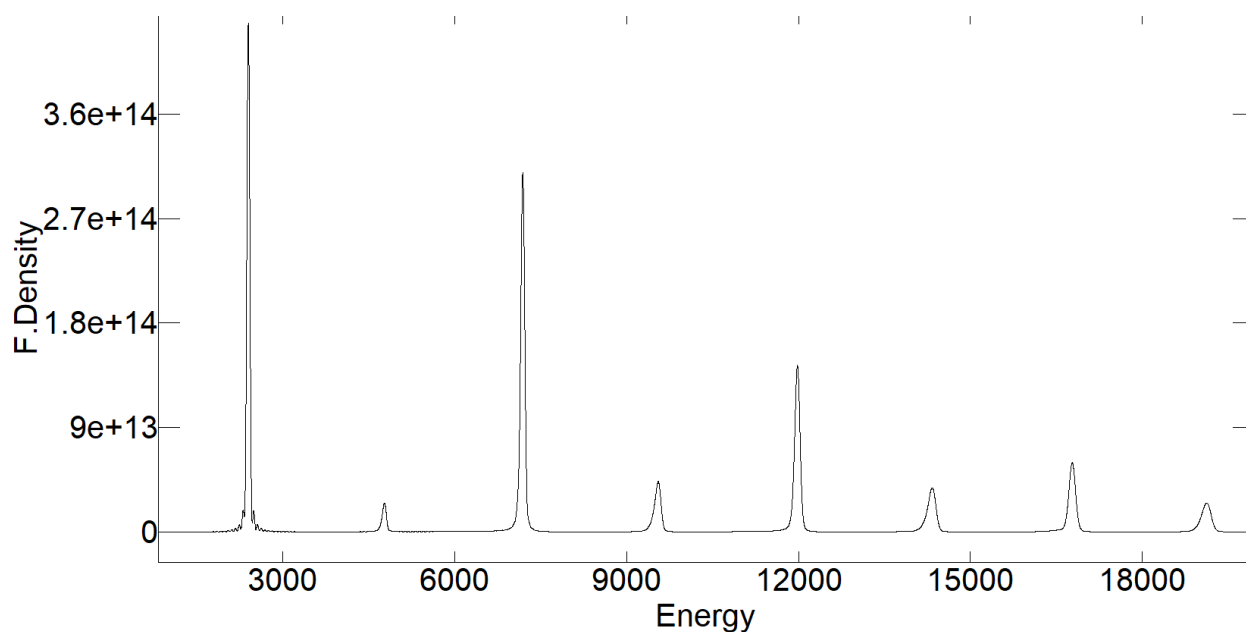


Рис.1

Рассмотрим зависимость потока от фазовых ошибок. На рис.2 графики черный – без фазовой ошибки, красный – с фазовой ошибкой 3 градуса и синий – с фазовой ошибкой 6 градусов.

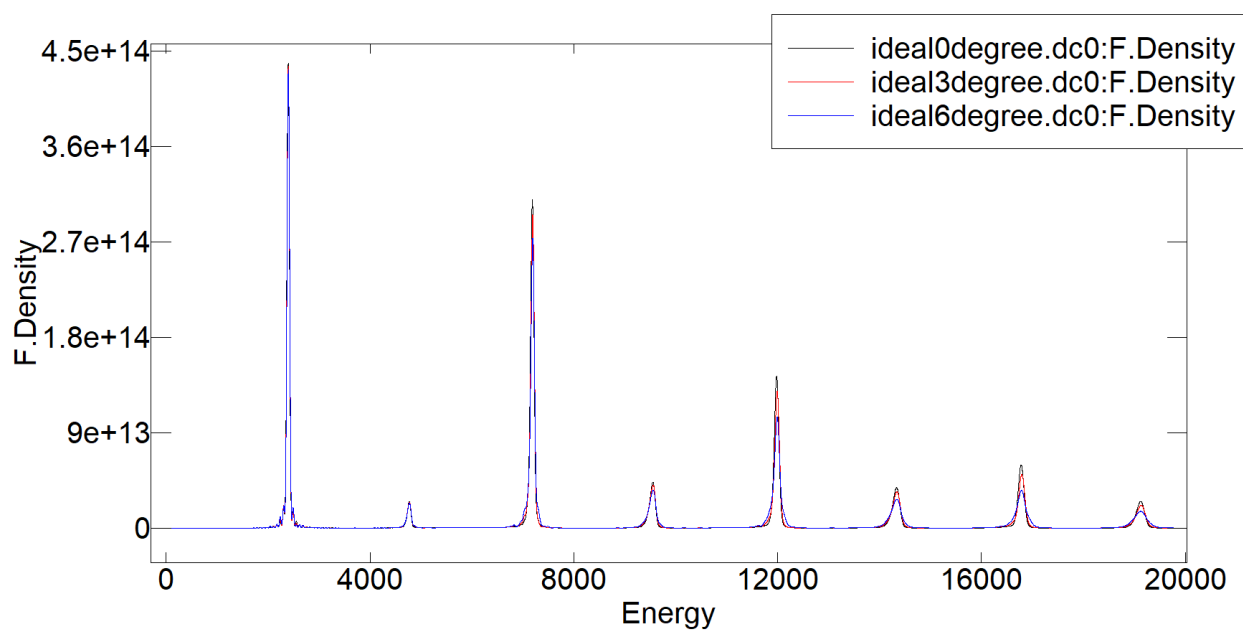


рис.2

То же самое, только в логарифмическом масштабе

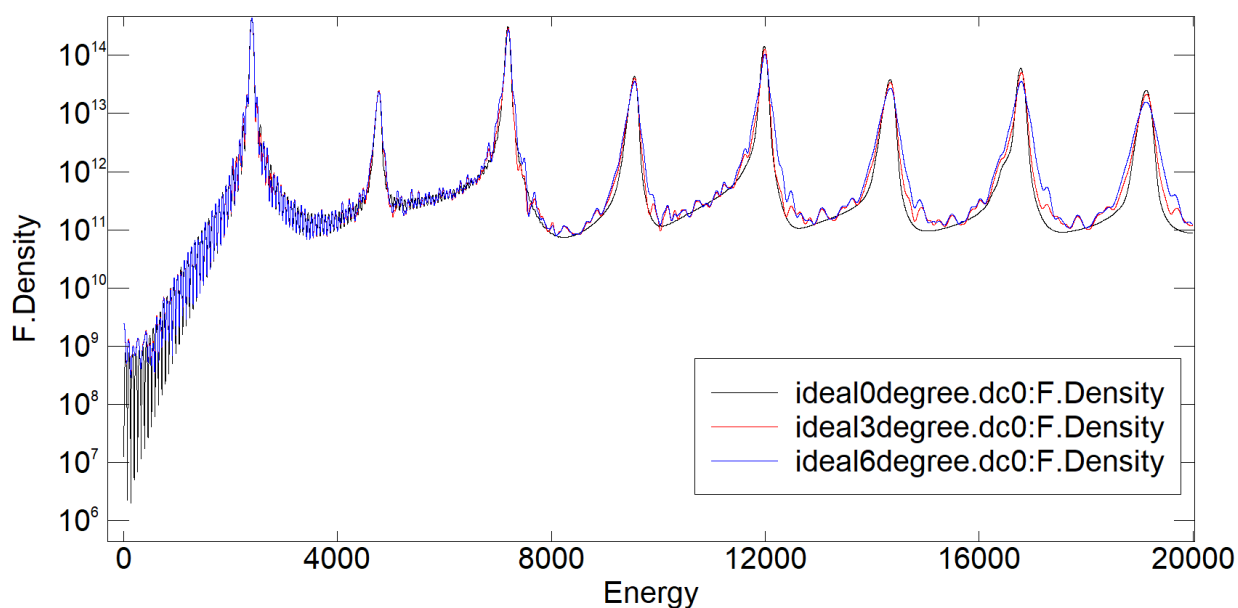


Рис.3

Не трудно заметить, что чем дальше по счету гармоника, тем большее влияние имеют фазовые ошибки.

Далее рассмотрим характеристики реального ондулятора со станции 1-1. Её поле было измерено датчиком Холла и мы можем сравнить его с синусоидальным полем. На рис.3 черным графиком изображено излучение ондулятора с синусоидальным полем, красным -реального.

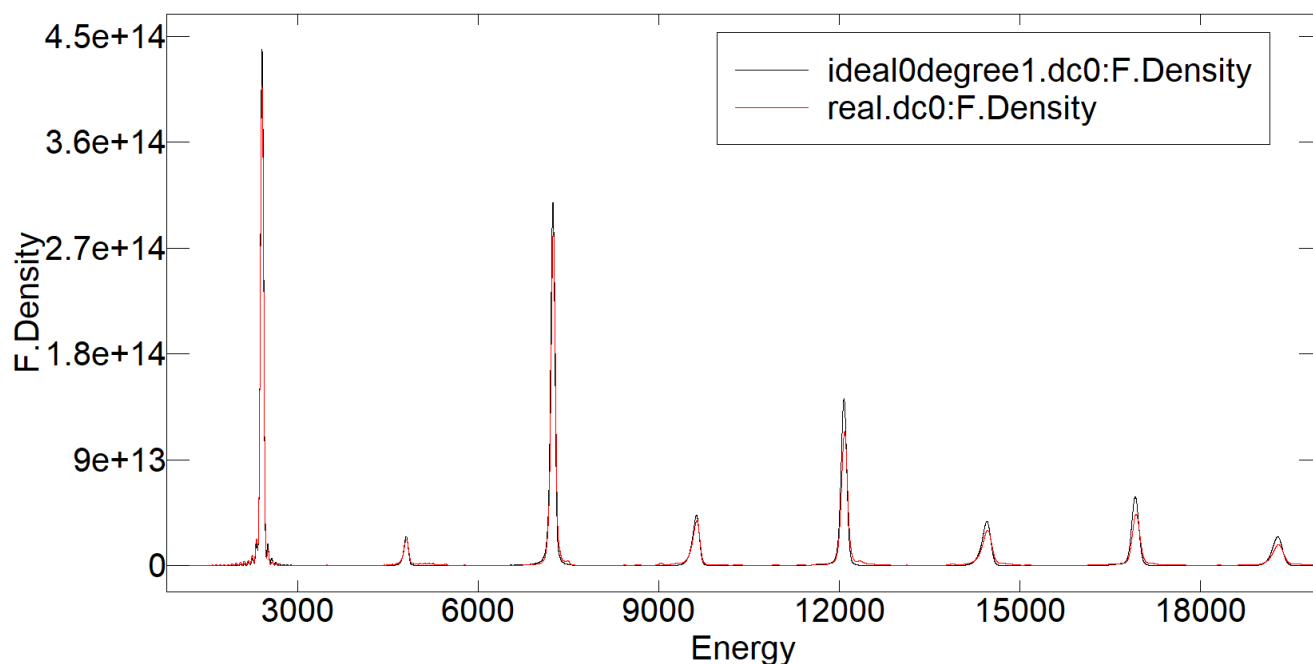


Рис.4

То же самое в логарифмическом масштабе

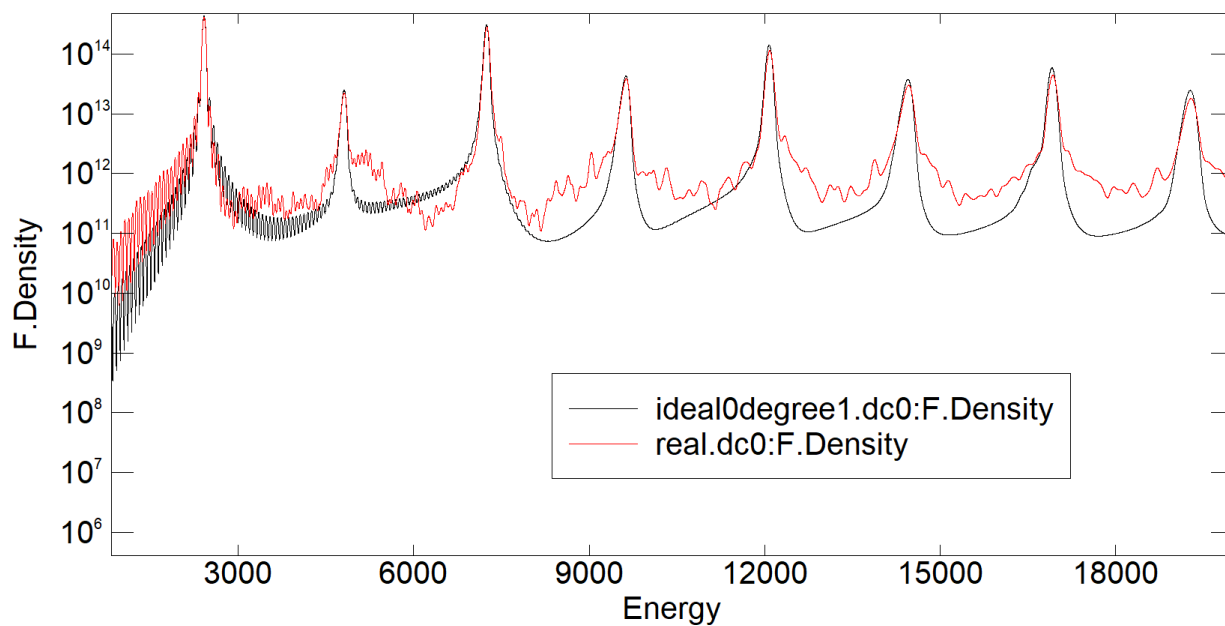


Рис.5

Дальше рассмотрим на рис.6, какие случайные ошибки имеет поле (в градусах) в зависимости от конкретного магнита

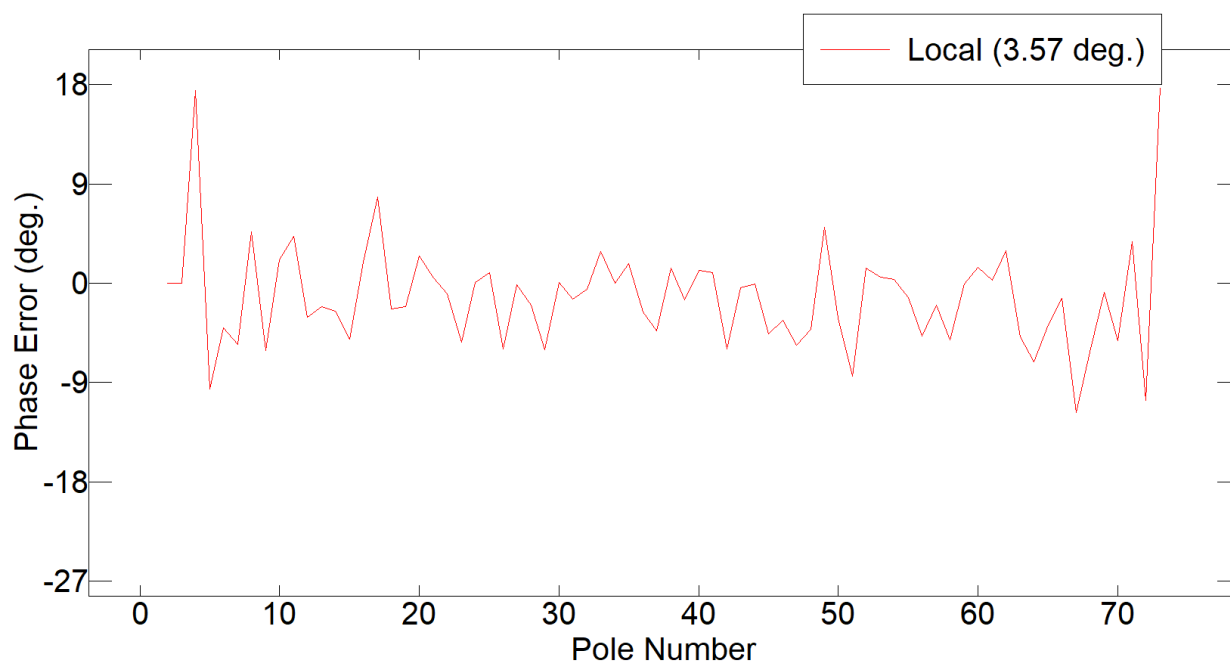


Рис.6

Как видно из графика, случайные ошибки действительно влияют на поле значительно сильнее, чем систематические, которые здесь трудно проследить.

6. Вывод

В работе было рассмотрено излучение и движение релятивистских пучков в синусоидальном магнитном поле. Так же было изучено влияние фазовых

ошибок на излучение. Был проведён сравнительный анализ спектральной характеристики излучения из идеального синусоидального поля и реально измеренного поля ондулятора станции 1-1.

7. Литература

- [1] Gianluca Geloni, Evgeni Saldin, Evgrni Schneidmiller, Mikhail Yurkov, Deutsches Elektronen-Synchrotron DESY, Hamburg, Paraxial Green's functions in Synchrotron Radiation theory, February 2005.
- [2] Gianluca Geloni, European XFEL GmbH, Hamburg, Vitali Kocharyan and Evgeni Saldin, Deutsches Elektronen-Synchrotron DESY, Hamburg, Brightness of Synchrotron radiation from Undulators and Bending Magnets, July 2014.\
- [3] Helmut Widemann, Particle Accelerator Physics Furth Edition, 2015.
- [4] Е.А. Переведенцев, Радиационные эффекты в циклических ускорителях, 18 декабря 2013г.
- [5] Н.А. Винокуров, Е.Б. Левичев, Ондуляторы и вигглеры для генерации излучения и других применений, Успехи физических наук том 185, №9, Сентябрь 2015г.
- [6] Richard P. Walker, Diamond Light Source, Oxfordshire, United Kingdom, Phase errors and their effect on undulator radiation properties, Physical review special topics – accelerators and beams 16, 2013.